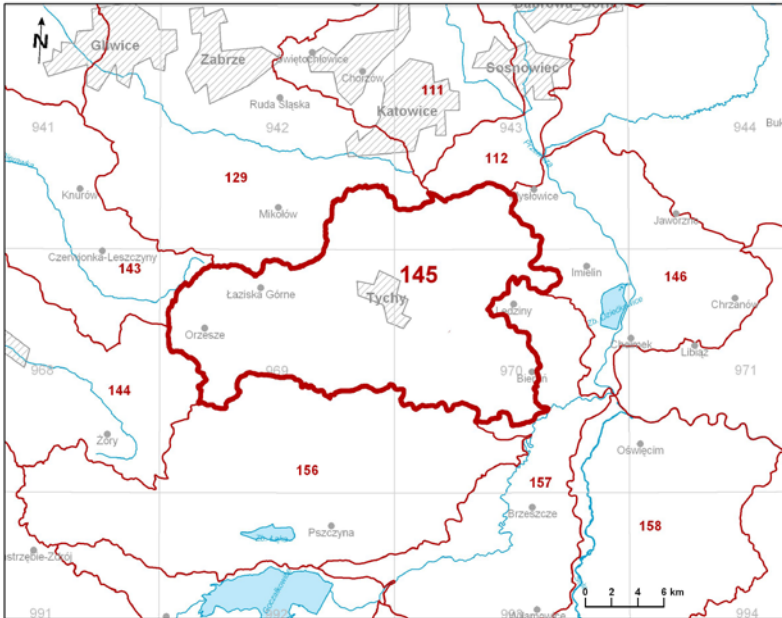
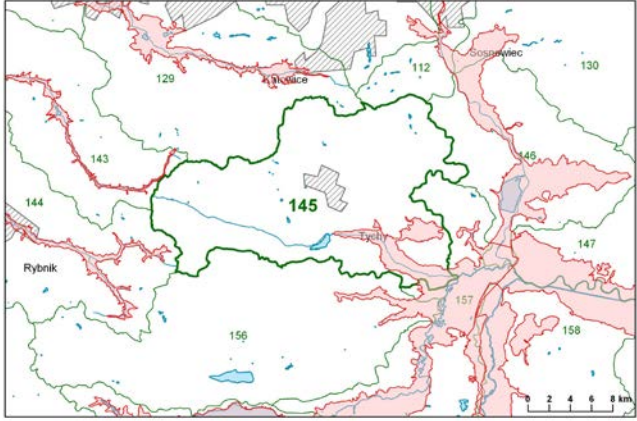


Numer JCWPd: 145	Powierzchnia JCWPd [km²]: 344.7	
Identyfikator UE:	PLGW2000145	
Polożenie administracyjne		
Województwo	Powiat	Gminy
śląskie	mikołowski	Mikołów, Łaziska Górne, Wyry, Orzesze
	pszczyński	Kobiór, Suszec
	M. Tychy	Tychy
	M. Katowice	Katowice
	M. Mysłowice	Mysłowice
	bieruńsko-lędziński	Imielin, Lędziny, Bieruń, Bojszowy
Współrzędne geograficzne	18°45'24.524" - 19°10'32.465"	
	50°02'45.012" - 50°12'43.249"	
Mapa z lokalizacją JCWPd		
		
Polożenie geograficzne		
Region fizyczno-geograficzny (Kondracki, 2009)	Prowincja: Wyżyny Polskie (34)	
	Podprowincja: Wyżyna Śląsko-Krakowska (341)	
	Makroregion: Wyżyna Śląska (341.1)	Mezoregiony: Wyżyna Katowicka (341.13) Pagóry Jaworznickie (341.14) Płaskowyż Rybnicki (341.15)
	Prowincja: Karpaty Zachodnie (51)	
	Podprowincja: Północne Podkarpacie (512)	
	Makroregion: Kotlina Oświęcimska (512.2)	Mezoregiony: Równina Pszczyńska (512.21) Dolina Górnej Wisły (512.22)
Polożenie hydrologiczne i hydrogeologiczne		
Dorzecze	Wisły	
Region wodny RZGW	Małej Wisły RZGW Gliwice	

Główna zlewnia w obrębie JCWPd (rząd zlewni)		Gostynia (II)			
Obszar bilansowy		GL-II Mała Wisła do ujścia Przemszy			
Region hydrogeologiczny (Paczyński, 1995)		Region śląsko-krakowski (XII), Region przedkarpacki (XIII)			
Zagospodarowanie terenu (źródło: warstwa Corin Land Cover)					
% obszarów antropogenicznych		18,47			
% obszarów rolnych		38,83			
% obszarów leśnych i zielonych		42,03			
% obszarów podmokłych		0,00			
% obszarów wodnych		0,67			
HYDROGEOLOGIA					
Liczba pięter wodonośnych		4			
Charakterystyka pięter wodonośnych (od powierzchni terenu)					
Piętro czwarorzędowy	Poziom Q1	Stratygrafia	Litologia	Charakterystyka wodonośności	
		Q	piaski, żwiry	porowy	
		Charakter zwierciadła wody	Głębokość występowania warstw wodonośnych poziomu		
		swobodny, napięty	od – do		
			2,2->16,0		
		Parametry hydrogeologiczne warstwy wodonośnej			
		miąższość od –do	wsp. filtracji od -do	przewodność	odsączalność/ zasobność sprężysta średnia
	[m]	[m/h]	[m ² /h]	-	
	4,6-13,3	1,53	12,33	bd	
	Poziom Q2	Stratygrafia	Litologia	Charakterystyka wodonośności	
		Q	piaski, żwiry	porowy	
		Charakter zwierciadła wody	Głębokość występowania warstw wodonośnych poziomu		
		swobodny, napięty	od - do		
			17,5->57,2		
Parametry hydrogeologiczne warstwy wodonośnej					
miąższość od –do		wsp. filtracji od -do	przewodność	odsączalność/ zasobność sprężysta średnia	
[m]	[m/h]	[m ² /h]	-		
2,5->25,2	0,54-0,83	5,92-19,92	bd		
Typy chemiczne wód podziemnych (naturalne/ odbiegające od typów naturalnych)					
<u>Typy naturalne:</u> HCO ₃ -Ca (wody wodorowęglanowo-wapniowe), <u>Typy odbiegające od naturalnych:</u> HCO ₃ -SO ₄ -Ca-Na (wody wodorowęglanowo-siarczanowo-wapniowo-sodowe), HCO ₃ -SO ₄ -Cl-Ca (wody wodorowęglanowo-siarczanowo-chlorkowo-wapniowe), SO ₄ -Cl-Ca-Mg (wody siarczanowo-chlorkowo-wapniowo-magnezowe), Cl-SO ₄ -HCO ₃ -Ca-Na (wody chlorkowo-siarczanowo-wodorowęglanowo-wapniowo-sodowe)					

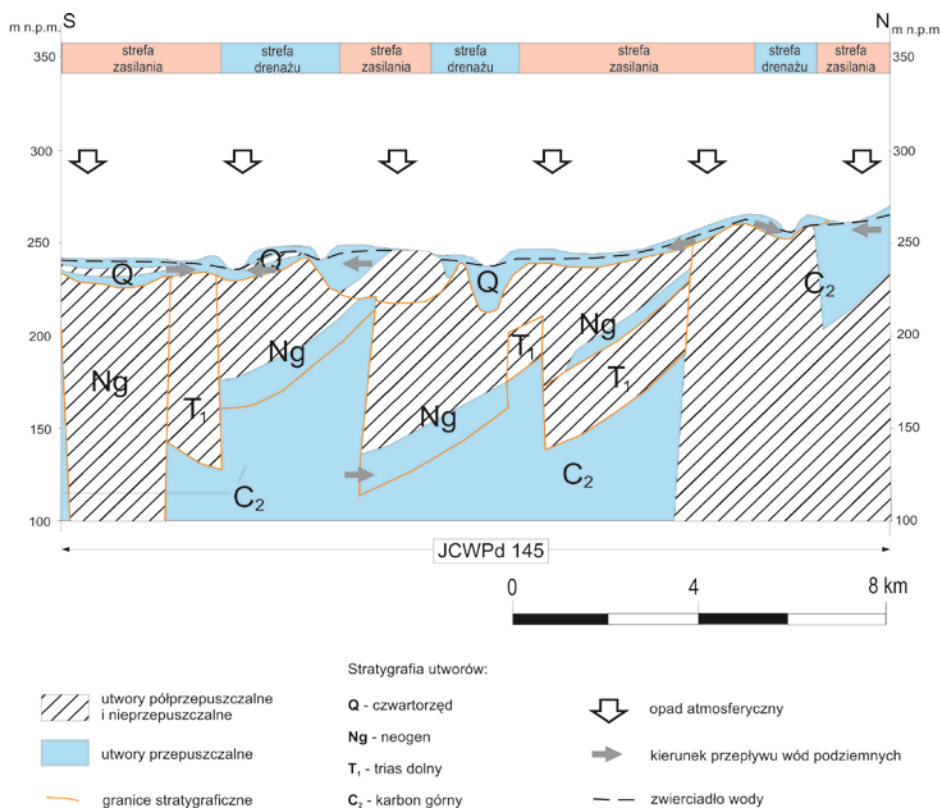
Piętro neogeńsko-czwartorzędowe (Q-Ng)	Stratygrafia	Litologia	Charakterystyka wodonośca	
	Q-Ng	piaski, żwiry	porowy	
	Charakter zwierciadła wody	Głębokość występowania warstw wodonośnych poziomu		
	swobodny, napięty	od - do 10,0-13,0		
	Parametry hydrogeologiczne warstwy wodonośnej			
	miąższość od -do	wsp. filtracji od -do	przewodność	odsączalność/ zasobność sprężysta średnia
	[m]	[m/h]	[m ² /h]	-
	3,0	0,58	10,13	bd
	Typy chemiczne wód podziemnych (naturalne/ odbiegające od typów naturalnych)			
	Typy naturalne: HCO ₃ -Ca (wody wodorowęglanowo-wapniowe)			
Piętro triasowo-karbońskie T1,2-C3	Stratygrafia	Litologia	Charakterystyka wodonośca	
	T1,2-C3	wapienie, dolomity, margle, piaskowce	szczelinowo-krasowy, szczelinowo-porowy	
	Charakter zwierciadła wody	Głębokość występowania warstw wodonośnych poziomu		
	napięty	od - do 40,2->75,0		
	Parametry hydrogeologiczne warstwy wodonośnej			
	miąższość od -do	wsp. filtracji od -do	przewodność	odsączalność/ zasobność sprężysta średnia
	[m]	[m/h]	[m ² /h]	-
	32,9->34,8	0,33	10,56	bd
	Typy chemiczne wód podziemnych (naturalne/ odbiegające od typów naturalnych)			
	Typy odbiegające od naturalnych: HCO ₃ -SO ₄ -Na (wody wodorowęglanowo-siarczanowo-sodowe) HCO ₃ -Cl-Ca-Na (wody wodorowęglanowo-chlorkowo-wapniowo-sodowe) Cl-SO ₄ -HCO ₃ -Ca-Mg-Na (wody chlorkowo-siarczanowo-wodorowęglanowo-wapniowo-magnezowo-sodowe)			
Piętro karbońskie C3	Stratygrafia	Litologia	Charakterystyka wodonośca	
	C3	piaskowce	szczelinowo-porowy	
	Charakter zwierciadła wody	Głębokość występowania warstw wodonośnych poziomu		
	napięte	od - do około 75		
	Parametry hydrogeologiczne warstwy wodonośnej			
	miąższość od -do	wsp. filtracji od -do	przewodność	odsączalność/ zasobność sprężysta średnia
	[m]	[m/h]	[m ² /h]	-
	39,0-120,0	0,04-0,13	1,00-8,46	bd
	Typy chemiczne wód podziemnych (naturalne/ odbiegające od typów naturalnych)			
	Typy odbiegające od naturalnych: HCO ₃ -SO ₄ -Ca-Mg (wody wodorowęglanowo-siarczanowo-wapniowo-magnezowe), HCO ₃ -SO ₄ -Ca (wody wodorowęglanowo-siarczanowo-wapniowe), HCO ₃ -SO ₄ -Na (wody wodorowęglanowo-siarczanowo-sodowe), HCO ₃ -Cl-Ca-Na (wody wodorowęglanowo-chlorkowo-wapniowo-sodowe), Cl-SO ₄ -HCO ₃ -Ca-Mg-Na (wody chlorkowo-siarczanowo-wodorowęglanowo-wapniowo-magnezowo-sodowe)			

<p>Zagrożenie suszą (źródło: IMGW)</p>	<p>Liczba niżówek (suszy hydrologicznych) w latach 1951-2000: 8-15</p>
<p>Zagrożenie podtopieniami (źródło: Mapa obszarów zagrożonych podtopieniami, 2007)</p>	 <p>Objaśnienia:</p> <ul style="list-style-type: none"> linia zielona: jednolite części wód podziemnych nomencl. JCWPd linia różowa: obszar podtopień linia zielona z literą A: nazwy miast linia niebieska z literą A: nazwy rzek linia niebieska z literą A: rzeki linia niebieska z literą A: jeziora linia czarna: miasta

Schemat krążenia wód

Zasilanie wód podziemnych obecnych w GPU odbywa się w wyniku infiltracji wód z opadu atmosferycznego na obszarze wychodni utworów budujących piętra: czwartorzędu, neogenu, triasu i karbonu. Utwory ww pięter hydrogeologicznych pozostają ze sobą w kontakcie hydraulicznym.

Drenaż naturalny odbywał się wzdłuż dopływów Gostyni, i Gostynią na wschód do doliny Wisły. Drenaż sztuczny, antropogenicznie wywołany, jest spowodowany pracą ujęć wód komunalnych i wyrobisk górniczych. Drenaż górniczy w północnej i wschodniej części jednolitej wpływa na piętro górnokarboński i jego nadkład, a na południu pod miąższym nadkładem neogenu na młodsze piętra już nie oddziałują.



Ekosystemy wód powierzchniowych i ekosystemy lądowe zależne od wód podziemnych	
Udział zasilania podziemnego w odpływie całkowitym rzek w obrębie JCWPd	34%
Ekosystemy lądowe zależne od wód podziemnych (źródło: warstwa GIS)	Mokradła (8% powierzchni obszarów chronionych)
Ocena stanu JCWPd , w zależności od oddziaływań wód podziemnych na ekosystemy lądowe zależne od wód podziemnych, 2012 r.	dobry DW (dostateczna wiarygodność)
Obszary chronione w granicach JCWPd	
<p style="text-align: center;"><u>Rezerwaty:</u> Las Murckowski</p> <p style="text-align: center;"><u>Sieć Natura 2000 - obszary specjalnej ochrony ptaków:</u> PLB120009 Stawy w Brzeszczach</p>	
Antropopresja	
Leja depresji (lej regionalny-lokalny) związany z poborem wód podziemnych, odwodnieniami kopalnianymi, wpływem aglomeracji itp. (źródło: Mapa hydrogeologiczna Polski 1:50 000, Aktualizacja warstw informacyjnych bazy danych GIS Mapy hydrogeologicznej Polski "hydrodynamika głównego użytkowego poziomu wodonośnego (GUPW) i pierwszego poziomu wodonośnego (PPW)", 2012.)	Regionalny lej depresji związany z górnictwem węgla kamiennego
Ingresja lub ascenzja wód słonych do wód podziemnych	Możliwość ascenzji kwaśnych wód kopalnianych.
Sztuczne odnawianie zasobów	Brak
Pobór wód [tys m³ rok] – pobór rejestrowany – rok 2011	
dla zaopatrzenia ludności w wodę, przemysłu i inne	2 120,05
z odwodnienia kopalnianego	30 000
Zasoby wód podziemnych dostępne do zagospodarowania [m³/d]	
zasoby	64717
% wykorzystania zasobów	136
Obszarowe źródła zanieczyszczeń	
Obszary szczególnie narażone na zanieczyszczenia azotanami pochodzenia rolniczego (źródło: warstwa GIS – OSN (Obszary Szczególnie Narażone))	Brak
Obszary zurbanizowane	Górnośląski Okręg Przemysłowy
Ocena stanu JCWPd, 2012 r.	
Stan ilościowy	słaby
Stan chemiczny	dobry
Ogólna ocena stanu JCWPd	słaby
Ocena ryzyka niespełnienia celów środowiskowych	zagrożona

<p>Przyczyna zagrożenia nieosiągnięcia celów środowiskowych</p>	<p><u>Przyczyny antropogeniczne:</u> Silny drenaż górniczy wywołany eksploatacją węgla kamiennego oraz związany z tym procesem zrzut wód kopalnianych do rzek. Ponadto drenaż wymuszony ujęciami wód komunalnych oraz potencjalne ogniska zanieczyszczeń (punktowe, liniowe, obszarowe).</p> <p><u>Przyczyny geogeniczne:</u> Słaba izolacja lub/i mała głębokość występowania poziomu wodonośnego.</p>
---	---